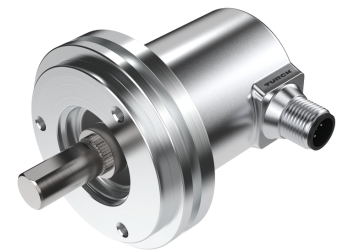
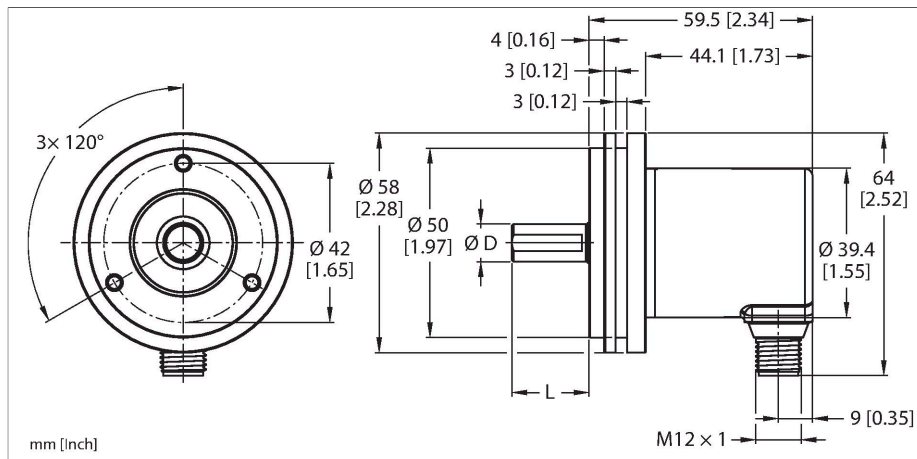


# REM-116T6S-7AAR-H1151

## Codificador rotatorio absoluto: multivuelta

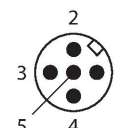
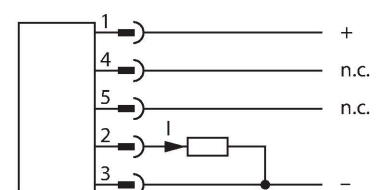
### Línea industrial



|  |                             |
|--|-----------------------------|
| <b>Tipo</b>  | REM-116T6S-7AAR-H1151       |
| <b>N.º de ID</b>   | 100011413                   |
| <b>Principio de medición</b>                               | magnético                   |
| <b>Datos generales</b>                                     |                             |
| <b>Máx. velocidad de rotación</b>                          | 4000 rpm                    |
| <b>Precisión absoluta</b>                                  | $\pm 1^\circ$ A 25 °C       |
| <b>Tipo de salida</b>                                      | Absoluto multivuelta        |
| <b>Datos eléctricos</b>                                    |                             |
| <b>Voltaje de funcionamiento <math>U_s</math></b>          | 10...30 VCC                 |
| <b>Corriente sin carga</b>                                 | $\leq 38$ mA                |
| <b>Protección cortocircuito</b>                            | sí                          |
| <b>Rotura de cable/protección contra polaridad inversa</b> | sí                          |
| <b>Salida eléctrica</b>                                    | Salida analógica            |
| <b>Salida de corriente</b>                                 | 4...20 mA                   |
| <b>Resolución del convertidor DA</b>                       | 12 Bit                      |
| <b>Datos mecánicos</b>                                     |                             |
| <b>Tipo de brida</b>                                       | brida sincro                |
| <b>Diámetro de brida</b>                                   | $\varnothing 58$ mm         |
| <b>Tipo de eje</b>   | Eje macizo                  |
| <b>Diámetro del eje D (mm)</b>                             | 6                           |
| <b>Longitud de onda L [mm]</b>                             | 12.5                        |
| <b>Material del eje:</b>                                   | Acero inoxidable            |
| <b>Material de la cubierta</b>                             | Fundición inyectada de zinc |
| <b>Conexión eléctrica</b>                                  | Conectores, M12 x 1         |
|  | 5 polos                     |
| <b>Carga en eje, axial</b>                                 | 40 N                        |
| <b>Carga en eje, radial</b>                                | 80 N                        |

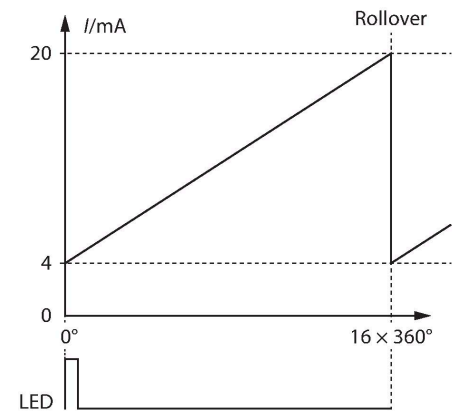
- Brida para sincronización,  $\varnothing 58$  mm
- Eje macizo,  $\varnothing 6$  mm x 12.5 mm
- principio de medición magnético
- Material del eje: acero inoxidable
- Protección de grado IP65 en la parte lateral del eje y la carcasa
- -40...+85 °C
- Máx. 4000 rpm (funcionamiento continuo: 2000)
- Tecnología de recolección de energía
- 10...30 VCC
- Salida analógica, 4...20 mA por 16 revoluciones hacia la derecha
- Resolución de 12 bits
- Macho M12 x 1, 5 polos

### Esquema de conexiones



## Condiciones ambientales

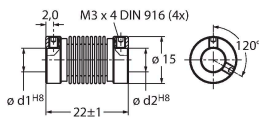
|  |  |
|--|--|
| Temperatura ambiente                                   | -40...+85 °C                             |
| Resistencia a la fatiga por vibraciones (EN 60068-2-6) | 30 g (300 m/s <sup>2</sup> ), 10-2000 Hz |
| Resistencia al choque (EN 60068-2-27)                  | 500 g (2500 m/s <sup>2</sup> ), 4 ms     |
| Grado de protección                                    | IP65                                     |
| Protection class shaft                                 | IP65                                     |



RCS-15-08-06

1545361

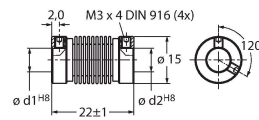
Acoplamiento de fuelle, diámetro exterior: 15 mm, diámetro del orificio: 8 mm/6 mm



RCS-15-06-06

1545362

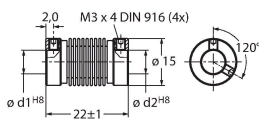
Acoplamiento de fuelle, diámetro exterior: 15 mm, diámetro del orificio: 6 mm/6 mm



RCS-15-06-04

1545363

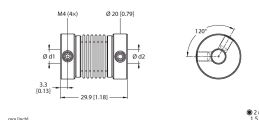
Acoplamiento de fuelle, diámetro exterior: 15 mm, diámetro del orificio: 6 mm/4 mm



RA-BC-20-06-06

100048777

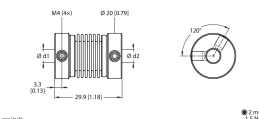
Acoplamiento de fuelles con concentrador de aluminio Ø 20 mm; d1 = 6 mm, d2 = 6 mm



RA-BC-20-06-08

100048778

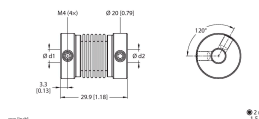
Acoplamiento de fuelles con concentrador de aluminio Ø 20 mm; d1 = 6 mm, d2 = 8 mm



RA-BC-20-06-10

100048779

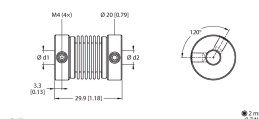
Acoplamiento de fuelles con concentrador de aluminio Ø 20 mm; d1 = 6 mm, d2 = 10 mm



RA-BC-E-20-06-06

100048785

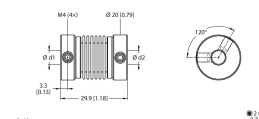
Acoplamiento de fuelles de acero inoxidable Ø 20 mm; d1 = 6 mm, d2 = 6 mm



RA-BC-E-20-06-10

100048786

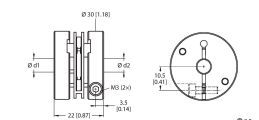
Acoplamiento de fuelles de acero inoxidable Ø 20 mm; d1 = 6 mm, d2 = 10 mm



RA-SDC-30-06-10

100048791

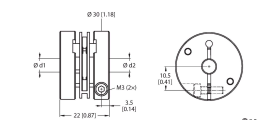
Acoplamiento de arandela de bloqueo Ø 30 mm, d1 = 6 mm, d2 = 10 mm



RA-SDC-30-06-06

100048790

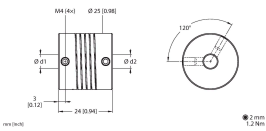
Acoplamiento de arandela de bloqueo Ø 30 mm, d1 = 6 mm, d2 = 6 mm



RA-HC-25-06-06

100048794

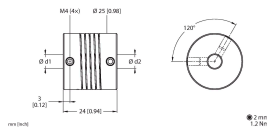
Acoplamiento helicoidal de aluminio  
 $\varnothing 25$  mm; d1 = 6 mm, d2 = 6 mm



RA-HC-25-06-10

100048795

Acoplamiento helicoidal de aluminio  
 $\varnothing 25$  mm; d1 = 6 mm, d2 = 10 mm



Dibujo acotado

Tipo

N.º de ID

RKC4.5T-2/TEL

6625016

Cable de conexión, conector hembra M12, recto, de 5 polos, longitud del cable: 2 m; material de revestimiento: PVC, negro; aprobación cULus

